

Таким образом, в магнитном поле выступы и впадины в фундаменте чётко различаются противоположными по знаку аномалиями. В гравитационном поле выступы и поднятия по фундаменту характеризуются в основном положительными аномалиями.

Такое отражение структур фундамента в гравитационном и магнитном аномальном полях даёт основания использовать геофизические поля для тектонического районирования фундамента в Балтийско-Приднестровской зоне перикратонных опусканий.

#### **Библиографические ссылки**

1. *Зиновенко Г. В.* Балтийско-Приднестровская зона перикратонных опусканий. Минск : Наука и техника, 1986.
2. *Гарецкий Р. Г., Каратаев Г. И.* Шовные зоны Фенноскандии, Сарматии и Волго-Уралии. Минск : Беларус. навука, 2014.
3. Гравиметрическая карта СССР / Под ред. П. П. Степанова, М. А. Янушевич. М 1 : 2 500 000. М. : МинГео СССР, 1971.
4. Gravimetric Atlas of Poland / Edited by Cz. Krolkowski, Z. Petecki. Warszawa : PIG, 1995.

УДК 551.243.8

## **МОЩНОСТЬ ЗЕМНОЙ КОРЫ БАЛТИЙСКО-ПРИДНЕСТРОВСКОЙ ЗОНЫ ПЕРИКРАТОННЫХ ОПУСКАНИЙ**

**А. К. Хибиев**

Институт природопользования НАН Беларуси,  
ул. Ф. Скорины 10, 220114 Минск, Республика Беларусь; loter\_mc@mail.ru

Рассмотрены вопросы построения карты мощности земной коры на участке Балтийско-Приднестровской зоны перикратонных опусканий.

**Ключевые слова:** глубинное сейсмическое зондирование; физико-геологическое моделирование; Балтийско-Приднестровская зона перикратонных опусканий.

На территории Балтийско-Приднестровской зоны перикратонных опусканий и в соседних районах к настоящему времени выполнен большой объём глубинных сейсмических зондирований (ГСЗ) и построены профили физико-геологического моделирования (ФГМ) (рис. 1).

Это даёт нам основание, опираясь на выявление корреляции глубин залегания поверхности Мохоровичича (Мохо) – мощности земной коры и значений гравитационных аномалий, определить мощность коры в межпрофильном пространстве и, тем самым, построить карту мощности коры для всей исследуемой территории.

С этой целью с графиков профилей ГСЗ и ФГМ (рис. 2, 3) были сняты и нанесены на карту значения мощности коры, а с гравиметрической карты (рис. 4) – соответствующие значения гравитационных аномалий в тех же точках [1].

По этим данным был построен корреляционный график, показавший закономерную связь значений мощности коры и гравитационным полем.

Затем, используя карту гравитационных аномалий, основываясь на сейсмических данных по профилям, были определены и вынесены на карту значения мощности земной коры в точках межпрофильного пространства. В результате соответствующей интерполяции была построена карта мощности коры для всей исследуемой территории.

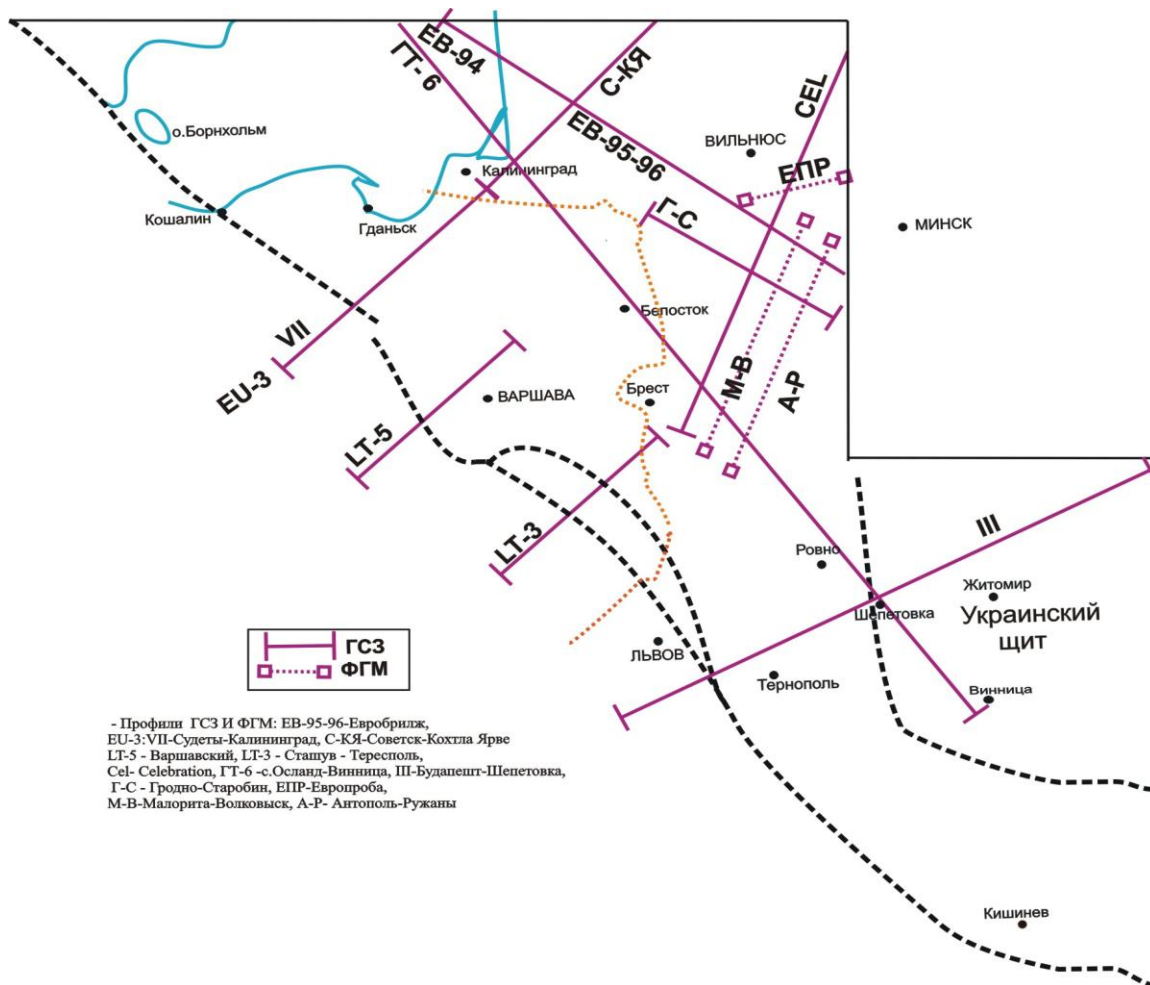


Рисунок 1 – Схема профилей ГСЗ и ФГМ на территории Балтийско-Приднестровской зоны перикратонных опусканий и соседних структур [1, 2]

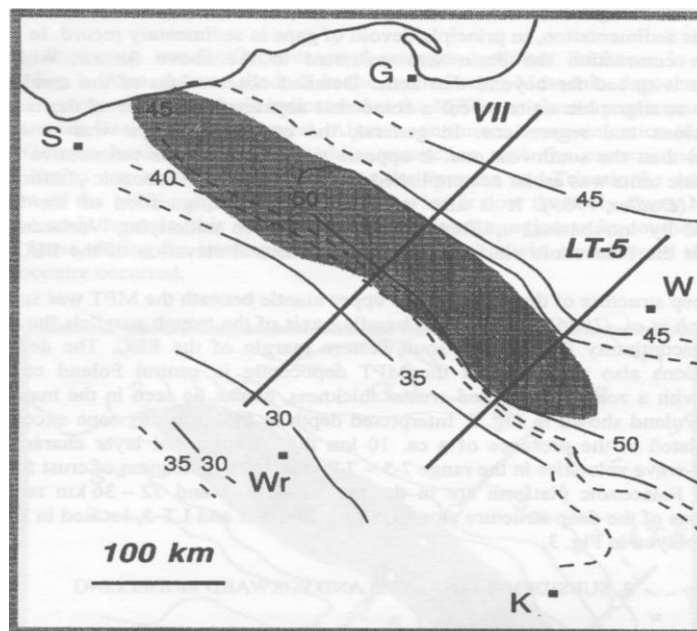


Рисунок 2 – Карта мощности земной коры на территории Балтийско-Приднестровской зоны перикратонных опусканий и соседних структур [2]

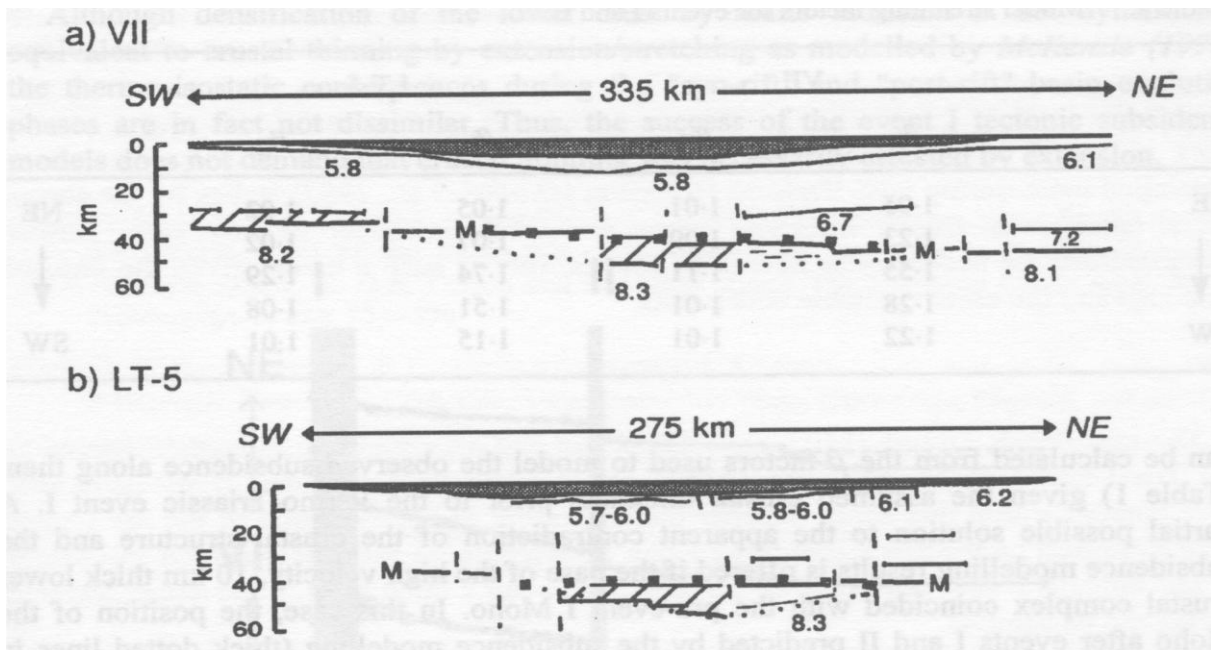


Рисунок 3 – Структура земной коры по данным ГСЗ по профилям VII и LT-5 [2]

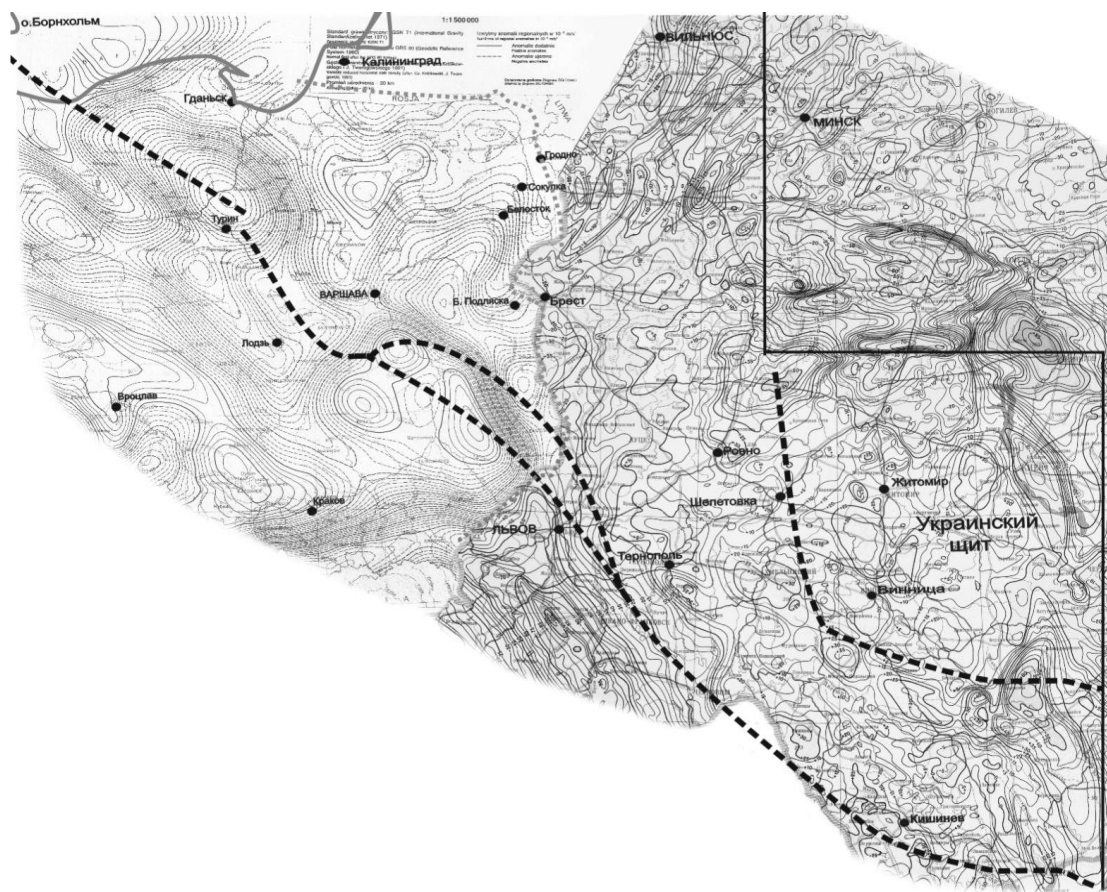


Рисунок 4 – Карта гравитационных аномалий на территории Балтийско-Приднестровской зоны перикратонных опусканий и соседних структур [3, 4]

### Библиографические ссылки

1. *Зиновенко Г. В.* Балтийско-Приднестровская зона перикратонных опусканий. Минск : Наука и техника, 1986.
2. *Stephenson R.* Implications of tectonic subsidence models for crustal structure beneath the mid-pilish trough // *Studia geophysica et geodaetica*. 1995. Vol. 39, N 3. P. 289–297.
3. Гравиметрическая карта СССР / Под ред. П. П. Степанова, М. А. Янушевич. М 1 : 2 500 000. М. : МинГео СССР, 1971.
4. Gravimetric Atlas of Poland / Edited by Cz. Krolikowski, Z. Petecki. Warszawa : PIG, 1995.

УДК 551.761.1+551.24(476-12)

## К ИСТОРИИ СОСТАВЛЕНИЯ КАРТЫ МОЩНОСТЕЙ ОТЛОЖЕНИЙ ИНДСКОГО ЯРУСА НИЖНЕГО ТРИАСА БРАГИНСКО-ЛОЕВСКОЙ СЕДЛОВИНЫ

**В. И. Толстошеев, П. О. Сахарук, С. А. Кручек**

Научно-производственный центр по геологии, филиал «Институт геологии»,  
ул. Купревича 7, 220141 Минск, Республика Беларусь;  
kruchek37@gmail.com, polina.sakharuk@gmail.com

Рассматривается история развития представлений о характере распределения мощностей отложений индского яруса нижнего триаса на востоке Беларуси (восточные районы Припятского прогиба, Брагинско-Лоевская седловина и северо-западные части Днепровско-Донецкого прогиба).

**Ключевые слова:** триасовая система; индский ярус; карта мощностей.

При изучении стратиграфии пермских и триасовых отложений территории Беларуси, главным образом Припятского прогиба, включая и Брагинско-Лоевскую седловину, первенство в составлении лито-фациальных карт отдельных стратонов с отрисовкой на них изопакит мощностей принадлежит В. К. Голубцову, которым были составлены в масштабе 1 : 1 000 000 и опубликованы в 1961 г. такие карты по стратиграфическим подразделениям верхнего девона – нижнему триасу [4]. Из них следует отметить карту, являющуюся по содержанию наиболее близкой к теме данной публикации и относящуюся в 1950-60-е гг. не к триасовой, а к пермской системе. Это «Литолого-фациальная карта Белоруссии и смежных районов. Пермь, верхний отдел, татарский ярус» [4; рис. 36, С. 161], на которой представлены отложения песчано-конгломератовой, песчаниковой (оолитовой) и песчаной толщ (подсвет), соответствующих в современном понимании корневской свите индского яруса нижнего триаса [13]. На этой карте наряду с вещественным составом пород, органическими остатками и их фациальными особенностями были показаны изопакиты мощностей отложений от 12,5–50 м до 100–150 м, местами 200–300 м. Из них для территории Брагинско-Лоевской седловины приводятся мощности, равные 164 м (скв. Брагин 1) и 135 м (скв. Черниговская 1, с. Любеч).

Упрощенный вариант указанной карты под названием «Литолого-фациальная схема. Пермский период, верхняя эпоха, время накопления осадков корневской свиты» был помещен В. К. Голубцовым и в работе 1971 г. [1; рис. 79, С. 397], на которой изопакиты мощностей отложений этой свиты изображены для Припятской впадины в обобщённом виде в пределах 100–200 м.

Следующим важным этапом, отразившимся на составлении карт мощностей отложений пермской и триасовой систем Припятского прогиба, были 1970-е гг., когда пермский возраст корневской свиты, который в основном отстаивали Ф. Е. Лапчик [5] и В. К. Голубцов [2, 4],